



## اثر طول ابزار روی نرخ برآده‌برداری‌های پایدار در فرآیند فرزکاری سرعت بالا

محمد کاظمی نصرآبادی<sup>\*</sup>، علی نوری<sup>۱</sup>، علی جعفری<sup>۲</sup>

۱- استادیار، مهندسی مکانیک، دانشگاه هواپی شهید ستاری، تهران

۲- کارشناس ارشد، مهندسی هواپی، دانشگاه هواپی شهید ستاری

kazemi@ssau.ac.ir، ۰۳۸۴۶۷۳۴۱۱

\*تهران، صندوق پستی

### چکیده

فرزکاری سرعت بالا بطور وسیعی در صنعت مورد استفاده قرار می‌گیرد. این روش نسبت به فرزکاری سنتی سریع‌تر و دقیق‌تر می‌باشد. مشخصه‌های دقت و سرعت در روش ساخت، آن را برای تولید قطعات فرزکاری بزرگ با دقت بالا، مناسب می‌سازد. این تحقیق اثر طول ابزار را روی نرخ برآده‌برداری‌های پایدار در فرزکاری سرعت بالا مورد بررسی قرار می‌دهد. شنان داده می‌شود که طول ابزار قویاً فرکانس طبیعی انعطاف پذیرترین مود را تحت تأثیر قرار می‌دهد و بالاترین نرخ برآده‌برداری موقعي که طول ابزار در منطقه پایدار با بالاترین سرعت قابل دستیابی است، اتفاق می‌افتد. همچنین بعضی مواقع ابزارهای بلندتر می‌توانند نرخ برآده‌برداری‌های بالاتری را نسبت به ابزارهای کوتاه‌تر انتخاب کنند.

کلید واژگان: فرزکاری سرعت بالا، نرخ برآده‌برداری، اثر طول ابزار، دالان‌های پایداری

## The effect of tools length on stable materials removal rate in high speed milling process

Mohammad Kazemi Nasrabai\*, Ali Noori, Ali Jafari

Department of aerospace Engineering, shahid sattari air University, Tehran, Iran  
\* P.O.B. 1384673411, Tehran, Iran, kazemi@ssau.ac.ir

### ABSTRACT

High-speed milling is widely used in the manufacturing industry. This method is faster and more precise than the traditional milling. The feature of precision and speed in the method of manufacturing has made it suitable for manufacturing of bigger and high precision milling parts. This research studies the effect of tool length on stable materials removal rate in high speed milling processes. It is shown that the tools length is highly affected the natural frequency of the most flexible mode and the high material removal rate is obtained when the tools length in the stable region is accessible with the fastest speed. Furthermore, sometimes longer tools provide higher material removal rate than the short ones.

**Keywords:** High Speed Milling, Material Removal Rate, Stability Lobes, Tool Length Effect

- ۶ تعداد سروپس دهنده‌ها در تولید کاهش می‌یابد.
  - ۷ نیروهای ماشین‌کاری کاهش می‌یابد.
  - ۸ کیفیت سطح بهتر می‌شود.
- در فرآیندهای تراش‌کاری و فرزکاری لرزش یک ناپایداری مهم بوده که نرخ برآده‌برداری را محدود می‌کند. تاریخ لرزش ماشین‌ابزار بر می‌گردد به سال ۱۹۰۷ موقعي که تیلور [۲] این پدیده را در ماشین‌ابزار به عنوان مهم ترین و حساس‌ترین مسائل صیقل‌کاری یک ماشین‌کار توصیف کرد. در سال ۱۹۴۶ آرنولد [۳] پدیده لرزش و علت ایجاد آن را بصورت اثر دمپینگ منفی توصیف کرد. در سال ۱۹۵۸ توسط توبایاس [۴] مدلی برای تعیین لرزش و بررسی ناپایداری ماشین‌ابزار ارائه شد. کادینو [۵] و توبایاس [۶] عمومی‌ترین توضیح پذیرفته شده برای لرزش ماشین‌ابزار را اثر بازیابی<sup>۱</sup> نامیده‌اند. تحقیقات نسبتاً زیادی پدیده لرزش احیا شونده<sup>۲</sup> را مورد بررسی قرار داده‌اند. در این تحقیقات نشان داده است که مرز بین برش پایدار (بدون لرزش) و برش ناپایدار (با لرزش) می‌تواند در ترم‌هایی از عمق برش محوری به عنوان

### ۱- مقدمه

فرآیند فرزکاری سرعت بالا به طور وسیعی در صنعت هواپیا به منظور ساخت قطعات انعطاف‌پذیر مربوط به بدنه هواپیا مورد استفاده قرار گرفته است و مزیت‌هایی نسبت به ماشین‌کاری سنتی دارد که عبارتند از [۱]:

۱- به سازندگان روشی عملی و موثر در هزینه به منظور تولید قطعاتی که به آسانی قابلیت تولید توسعه فرآیندهای ماشین‌کاری استاندارد را ندارند می‌دهند.

۲- در صنعت هواپیا بعضی از قطعات از مونتاژ نمودن تعداد زیادی قطعات ساخته می‌شوند که با استفاده از ماشین‌کاری سرعت بالا می‌توان این قطعات را از یک بلوک واحد ساخته و زمان تولید قطعه را شدیداً کاهش داد.

۳- مقاومت و قابلیت اعتماد قطعات توسعه روش ماشین‌کاری سرعت بالا افزایش می‌یابد.

۴- وزن کاهش می‌یابد.

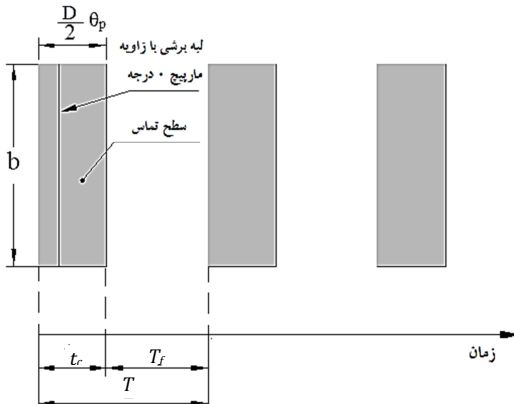
۵- سرعت تولید یا نرخ برآده‌برداری افزایش می‌یابد.

برای ارجاع به این مقاله از عبارت ذیل استفاده نمایید:

$$\Phi = \frac{1}{\lambda_2 - \lambda_1} \begin{bmatrix} -\lambda_1 e^{\lambda_2 t_f} + \lambda_2 e^{\lambda_1 t_f} & -e^{\lambda_1 t_f} + e^{\lambda_2 t_f} \\ -\lambda_1 \lambda_2 e^{\lambda_2 t_f} + \lambda_1 \lambda_2 e^{\lambda_1 t_f} - \lambda_1 e^{\lambda_1 t_f} + \lambda_2 e^{\lambda_2 t_f} \end{bmatrix} \quad (4)$$

$$\begin{cases} x(t_c + t_f) \\ \dot{x}(t_c + t_f) \end{cases} = \Phi \begin{cases} x(t_c) \\ \dot{x}(t_c) \end{cases}$$

در شکل ۱ بطور شماتیک فرآیند برش ناپیوسته و پارامترهای شاععی p امین دندانه است.



شکل ۱ فرآیند برش ناپیوسته با زاویه مارپیچ °

وقتی لبه برنده در حال برش است، معادله حرکت آن بصورت یک معادله دیفرانسیل تأخیری زمانی (معادله ۵) بیان می‌گردد [۱۱].

$$\ddot{\zeta}(t) + 2\zeta\omega_n^2\dot{\zeta}(t) + \omega_n^2\zeta(t) = -\frac{K_{sx}(t)b}{m}[\zeta(t-\tau) - \zeta(t)] \quad (5)$$

از آنجا که این معادله یک حل تحلیلی بسته<sup>۴</sup> ندارد، یک حل تقریبی برمبانی جابجایی‌های زمین جزء از زمان تناوب n آم ابزار به صورت یک ترکیب خطی از چند جمله‌ای‌ها مطابق معادله (۶) در نظر گرفته می‌شود [۱۴]:

$$X(t) = \sum_{j=1}^4 a''_{ji}\phi_i(\sigma_j(t)) \quad (6)$$

در این رابطه  $\sigma_j(t) = t - n\tau - \sum_{k=1}^{j-1} t_k$  زمان محلی در جزء زام مربوط به پریود n آم می‌باشد. بازه زمانی برای k امین جزء  $t_K$  و توابع سعی<sup>۵</sup>  $\phi_i(\sigma_j(t))$ ، به صورت چند جمله‌ای‌های هرمیت درجه سه<sup>۶</sup> در نظر گرفته می‌شوند. در جزء زام این توابع بصورت رابطه (۷) تعریف شده‌اند [۱۴, ۱۳]:

$$\begin{aligned} \phi_1(\sigma_j) &= 1 - 3\left(\frac{\sigma_j}{t_j}\right)^2 + 2\left(\frac{\sigma_j}{t_j}\right)^3 \\ \phi_2(\sigma_j) &= t_j\left[\left(\frac{\sigma_j}{t_j}\right) - 2\left(\frac{\sigma_j}{t_j}\right)^2 + \left(\frac{\sigma_j}{t_j}\right)^3\right] \\ \phi_3(\sigma_j) &= 3\left(\frac{\sigma_j}{t_j}\right)^2 - 2\left(\frac{\sigma_j}{t_j}\right)^3 \\ \phi_4(\sigma_j) &= t_j\left[-\left(\frac{\sigma_j}{t_j}\right)^2 + \left(\frac{\sigma_j}{t_j}\right)^3\right] \end{aligned} \quad (7)$$

تابعی از سرعت اسپیندل تصور شود. این نتایج در یک دیاگرام دالان پایداری<sup>۱</sup> آمده است که با استفاده از این دیاگرام‌ها ممکن است ترکیبات مشخصی از پارامترهای ماشین‌کاری را پیدا کنیم که ماکریم نرخ برآده برداری را در شرایط بدون لرزش داشته باشیم [۴-۷]. تلاستی و همکاران [۴] و توبایاس [۵] روش‌های حوزه فرکانسی را برای تحلیل پایداری برش پیوسته ارائه داده‌اند. این روش‌های پایداری تقریبی برای فرزکاری مورد استفاده قرار گرفته‌اند. کاری و مرزهای پایداری محاسبه مرزهای پایداری از روش آنالیز المان محدود زمانی استفاده کرده‌اند. آنالیز المان محدود زمانی<sup>۲</sup> یکی از روش‌های مهم و نسبتاً جدید جهت پیش‌بینی حدود پایداری در فرآیند فرزکاری می‌باشد که این روش برای اولین بار توسط بای‌لای و همکاران به یک فرآیند برشی ناپیوسته اعمال شد. در تحقیقات جدیدتر این روش همچنین در فرآیند فرزکاری با بار جانی کم مورد استفاده قرار گرفت. در سال ۲۰۰۲ روش آنالیز المان محدود زمانی توسط بای‌لای و همکاران [۱۱] به دو درجه آزادی و بالاتر توسعه داده شده بود. توسعه به ۲-DOF مهم می‌باشد چرا که مدل واقع بین از فرزکاری باید تغییر مکان‌های در جهت X و Y را منظور قرار دهد. با توجه به مزور مقالات یکی از بهترین و کارآمدترین روش‌ها جهت تعیین پایداری روش آنالیز المان محدود زمانی می‌باشد. در این تحقیق اثر طول ابزار در محدوده پایداری مورد بررسی قرار می‌گیرد.

## ۲- مدل‌سازی تحلیل اجزاء محدود زمانی (TFEA) برای

### پیش‌بینی حدود پایداری فرزکاری با لبه برنده مستقیم

در این تحقیق حدود پایداری در فرآیند فرزکاری توسط روش توانمند تحلیل اجزاء محدود زمانی تعیین می‌گردد. در این روش، زمانی که ابزار در تماس با قطعه کار نباشد سیستم ارتعاشات آزاد را تجربه می‌کند و می‌توان حل کاملی داشت. در حین درگیری لبه برنده با قطعه کار، زمان برش به تعداد معینی جزء تقسیم می‌گردد که یک حل تقریبی را ارائه می‌دهد. از انتطاق این دو حل، یک سیستم خطی مجزا<sup>۳</sup> بدست می‌آید که پایداری فرآیند را می‌توان به کمک مشخصه‌های این سیستم خطی مجزا، بررسی کرد. این روش اولین بار توسط بای‌لای و همکاران [۱۲] برای یک فرآیند برشی ناپیوسته به کار گرفته شد. در حالتی که لبه برنده با قطعه تماس ندارد، حرکت سیستم به صورت ارتعاشات آزاد مطابق رابطه (۱) بیان می‌شود:

$$M\ddot{X}(t) + C\dot{X}(t) + KX(t) = 0 \quad (1)$$

حل دقیق ارتعاشات آزاد توسط رابطه (۲) داده شده است:

$$x(t) = c_1 e^{\lambda_1 t} + c_2 e^{\lambda_2 t} \quad (2)$$

در این رابطه  $c_1, c_2$  و  $\lambda_{1,2}$  می‌باشد که  $\omega_d = \omega_n \sqrt{1 - \zeta^2}$  فرکانس طبیعی سیستم بر حسب رادیان بر ثانیه و  $\zeta$  نسبت میرایی می‌باشد که توسط رابطه (۳) بیان می‌شود:

$$\zeta = \frac{c}{2\sqrt{km}} \quad (3)$$

در  $t = t_c$  لبه برنده قطعه کار را ترک نموده و پس از آن مدت زمان ارتعاشات آزاد  $t_f$  می‌باشد. به منظور ارتباط حالت ابزار در شروع ارتعاشات آزاد به حالت آن در انتهای ارتعاشات آزاد، ماتریس انتقال حالت بصورت رابطه (۴) محاسبه شده است [۱۳, ۱۲]:

4. Closed Form  
5. Trial Function  
6. Cubic Hermit Polynomials

1. Stability Lobe Diagram(SLD)  
2. TFEA (Time Finite Element Analysis)  
3. Linear discrete map

معادلات (۸) و (۹) در ماتریس کلی مطابق رابطه (۱۰) مرتب می‌شوند که ضرایب حل مفروض را به صورت بازگشتی به ضرایب مربوط به عبور قبلی لبه برندۀ ارتباط می‌دهد:

در این معادله زیرماتریس‌ها و درآیه‌های آنها برای  $\hat{z}$  مینیم جزء صورت رابطه (۱۱) تعریف شده‌اند:

$$\begin{aligned} N_1^j &= \begin{bmatrix} N_{11}^j & N_{12}^j \\ N_{21}^j & N_{22}^j \end{bmatrix}, \quad N_2^j = \begin{bmatrix} N_{13}^j & N_{14}^j \\ N_{23}^j & N_{24}^j \end{bmatrix} \\ P_1^j &= \begin{bmatrix} P_{11}^j & P_{12}^j \\ P_{21}^j & P_{22}^j \end{bmatrix}, \quad P_2^j = \begin{bmatrix} P_{13}^j & P_{14}^j \\ P_{23}^j & P_{24}^j \end{bmatrix} \end{aligned} \quad (11)$$

$$\begin{aligned} N_{mi} &= \int_0^{t_j} \left\{ m\ddot{\phi}_i + c\dot{\phi}_i + (k + K_c b)\phi_i \right\} \psi_m d\sigma \\ C_m &= \int_0^{t_j} b f_0 \psi_m d\sigma \quad P_{mi} = \int_0^{t_j} K_c b \phi_i \psi_m d\sigma \end{aligned}$$

معادله (۱۱) یک سیستم دینامیکی گسسته را بیان می‌کند که می‌تواند صورت خلاصه شده طبق روابط (۱۲) یا (۱۳) نوشه شود [۱۱].

$$Aa_n = Ba_{n-1} + C \quad (12)$$

با:  
(۱۳)

$a_n = \phi a_{n-1} + D$

مقادیر ویژه ماتریس انتقال  $\phi = A^{-1}B$ ، مضارب مشخصه نامیده می‌شوند و با توان مشخصه که پایداری سیستم‌های پیوسته را نشان می‌دهند، قابل مقایسه می‌باشند. شرط پایداری سیستم دینامیکی گسسته فوق برای سرعت اسپیندل (Ω) و عمق برش (b) داده شده این است که اندازه کلیه مضارب مشخصه کوچکتر از ۱ باشد [۱۲].

با استفاده از این شرط پایداری می‌توانیم مرزهای بین برش پایدار و ناپایدار را بصورت تابعی از سرعت اسپیندل و عمق برش نشان دهیم.

### -۳ اثر طول ابزار بر روی دیاگرام دالان پایداری

در فرآیند فرزکاری اگشتشی طول ابزار بر روی عموماً فرکانس‌های مودال و در نتیجه موقعیت‌های دالان‌های پایداری و حدود آن را تعیین می‌کند اگر طول ابزار افزایش یابد محل دالان‌های پایداری به سمت چپ حرکت می‌کند. همچنین حدود پایداری نیز پایین‌تر می‌آید. بالاترین نرخ برآورده برداری موقعی که طول ابزار در منطقه‌ای پایدار با بالاترین سرعت مودال و در اتفاق می‌افتد. با توجه به اینکه طول ابزار فرکانس طبیعی انعطاف‌پذیر مود را تحت تاثیر قرار می‌دهد و تغییرات در فرکانس پایدارترین سرعت را نیز در دیاگرام دالان پایداری تغییر می‌دهد ابتدا برای ابزار با طول مختلف از طریق آزمایش تابع پاسخ فرکانسی را محاسبه و پارامترهای فرکانس، سختی مودال، جرم مودال و استهلاک را محاسبه و در محاسبات مربوط به دیاگرام دالان پایداری لحاظ می‌کنیم. در بخش بعدی مراحل طراحی آزمایش و تست مودال ارائه شده است.

### -۴ طراحی آزمایش

ابزار فرزانگستی دو لبه از جنس HSS با قطر ۱۲mm و طول کلی ۱۱۰mm انتخاب و با طول‌های بیرون آمدگی ۴۰mm، ۶۰mm و ۸۰mm و داخل کوت فرار گرفته و آزمایش تست مودال انجام می‌گیرد. لازم به ذکر است که آنالیز

این توابع بصورت فوق تعریف شده‌اند تا بتوان ضرایب حل مفروض را با اصطلاح سرعت‌های اولیه و انتهایی هر جزء، بدست آورد. با جایگزینی معادله (۶) در معادله حرکت (۵) یک خطای غیر صفر ایجاد می‌شود. خطای حل مفروض با ضرب کردن در مجموعه‌ای از توابع آزمایشی<sup>۱</sup>، وزن دار می‌شود.

انتگرال خطای وزن دار مساوی صفر قرار داده شده و در نتیجه دو معادله اضافی برای هر جزء بدست می‌آید. توابع آزمایشی به گونه‌ای انتخاب می‌شوند که ساده‌ترین توابع ممکن باشند:  $\psi_1(\sigma_j) = 1$  (ثابت) و  $\psi_2(\sigma_j) = \frac{\sigma_j}{t_j} - \frac{1}{2}$  (خطی).

انتگرال‌گیری در بازه زمان هر جزء،  $t_j = \frac{t_C}{E}$ ، انجام می‌شود و معادله (۸) حاصل می‌گردد [۱۱]:

$$\begin{aligned} &\int_0^{t_j} \left\{ M \left( \sum_{i=1}^4 a_{ji}^n \ddot{\phi}_i(\sigma_j) \psi_m(\sigma_j) \right) \right. \\ &\quad \left. + C \left( \sum_{i=1}^4 a_{ji}^n \dot{\phi}_i(\sigma_j) \psi_m(\sigma_j) \right) \right. \\ &\quad \left. + (K + bK_c(\sigma_j)) \left( \sum_{i=1}^4 a_{ji}^n \phi_i(\sigma_j) \psi_m(\sigma_j) \right) \right. \\ &\quad \left. - bK_c(\sigma_j) \left( \sum_{i=1}^4 a_{ji}^{n-1} \phi_i(\sigma_j) \psi_m(\sigma_j) \right) \right. \\ &\quad \left. - b f_0(\sigma_j) \psi_m(\sigma_j) \right\} d\sigma_j = 0 \quad , \quad m=1,2 \end{aligned} \quad (8)$$

E تعداد جزء‌های محدود در برش و شمارنده m برای مشخص کردن توابع آزمایشی استفاده شده است. جملات  $f_0(\sigma_j)$  و  $K_C(\sigma_j)$  بجای  $f_0(t)$  و  $K_C(t)$  بکار رفته‌اند تا بطور واضح، وابستگی آن‌ها به زمان محلی را نشان دهند. ارتباط بین شرایط اولیه و نهایی در ارتعاشات آزاد بر حسب ضرایب توابع اصلی<sup>۲</sup> بصورت رابطه (۹) بیان می‌شود [۱۱]:

$$\begin{pmatrix} a_{11} \\ a_{12} \end{pmatrix}^n = \Phi \begin{pmatrix} a_{E3} \\ a_{E4} \end{pmatrix}^{n-1} \quad (9)$$

در رابطه (۹)،  $a_{11}^n$  و  $a_{12}^n$  به ترتیب جابجایی و سرعت در ورود به جزء اول در زمان تناوب n و همچنین  $a_{E3}^{n-1}$  و  $a_{E4}^{n-1}$  به ترتیب جابجایی و سرعت در خروج از المان E ام در زمان تناوب n-1 می‌باشند. برای سایر اجزاء شرط پیوستگی موقعیت و سرعت در انتهای هر جزء با موقعیت و سرعت در ابتدای جزء بعدی برقرار می‌شود.

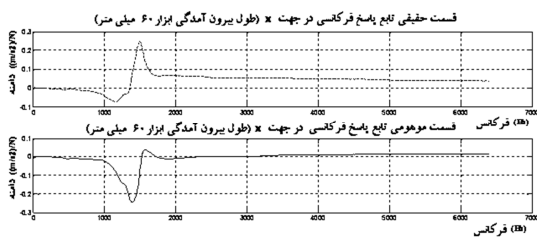
$$\begin{bmatrix} I & 0 & 0 & 0 & \dots & 0 \end{bmatrix} \begin{bmatrix} a_{11} \\ a_{12} \\ a_{21} \\ a_{22} \\ \vdots \\ a_{E3} \\ a_{E4} \end{bmatrix}^n = \quad (10)$$

$$\begin{bmatrix} 0 & 0 & 0 & 0 & \dots & \Phi \\ P_1^1 & P_2^1 & 0 & 0 & \dots & 0 \\ 0 & P_1^2 & P_2^2 & 0 & \dots & 0 \\ \dots & \dots & \dots & \dots & \dots & \dots \\ \dots & \dots & \dots & \dots & \dots & \dots \\ \dots & \dots & \dots & N_1^E & N_2^E & \end{bmatrix} \times \begin{bmatrix} a_{11} \\ a_{12} \\ a_{21} \\ a_{22} \\ \vdots \\ a_{E3} \\ a_{E4} \end{bmatrix}^{n-1} + \begin{bmatrix} 0 \\ 0 \\ C_1 \\ C_2 \\ \vdots \\ C_1 \\ C_2 \end{bmatrix}$$

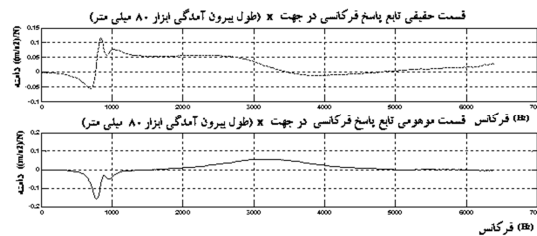
3. Characteristic multipliers (CMs)

1. Test Functions

2. Basis Functions



شکل ۵ نمودار تابع پاسخ فرکانسی در جهت  $\times$  برای طول بیرون آمدگی ابزار برابر ۶۰ میلی متر



شکل ۶ نمودار تابع پاسخ فرکانسی در جهت  $\times$  برای طول بیرون آمدگی ابزار برابر ۸۰ میلی متر

با استفاده از نمودارهای تابع پاسخ فرکانسی، مقادیر فرکانس و ضریب میرایی در جهات  $x$  و  $y$  بصورت جدول ۱ بسته می‌آید.

با توجه به جدول ۱ مشاهده می‌شود که با افزایش طول ابزار، انعطاف پذیری نیز بیشتر می‌شود. اطلاعات جدول ۱ جهت شبیه‌سازی‌های مربوط به محاسبه دیاگرام دالان پایداری مورد استفاده قرار خواهد گرفت. در این تحقیق ابتدا فرآیند فرزکاری دو درجه آزادی با بار جانی کم ( $10\%$  در گیری) در حالت مخالف ۲ با استفاده از پارامترهای مودال و شرایط ماشین‌کاری داده شده در جدول ۲ و ۳ با استفاده از روش آنالیز المان محدود زمانی شبیه‌سازی شده است. نتیجه حاصل از شبیه‌سازی دیاگرام دالان پایداری در محدوده سرعت اسپیندل ابزار  $10000-30000 \text{ rpm}$  و در محدوده عمق برش  $mm$  ۱-۱۰ در شکل ۷ نشان داده شده است.

جدول ۱ مقادیر فرکانس و ضریب میرایی در جهات $x$ و $y$			
	طول بیرون آمدگی ابزار ۴۰ mm	۶۰ mm	۸۰ mm
فرکانس در جهت $x$	۱۸۹۲	۱۴۷۹	۸۰۳
فرکانس در جهت $y$	۲۳۱۷	۱۴۶۵	۱۰۳۴
ضریب میرایی در جهت $x$	$0.0725$	$0.0102$	$0.0416$
ضریب میرایی در جهت $y$	$0.0571$	$0.0286$	$0.0968$

جدول ۲ پارامترهای مودال ابزار [۱۰]

	X	Y
فرکانس (Hz)	۹۲۲	۹۲۲
نسبت استهلاک (%)	$0.011$	$0.011$
(N/m)	$1/34 \times 10^6$	$1/34 \times 10^6$

جدول ۳ پارامترهای برشی [۱۰]

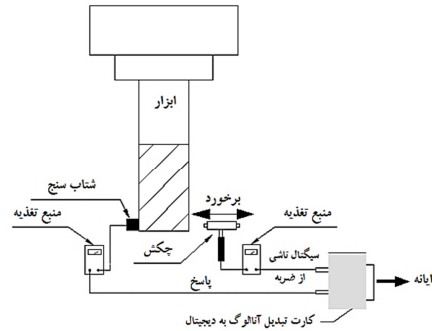
تعداد دندانهای برشی	$N=2$
ضریب برشی مماسی	$6 \times 10^8 \text{ N/m}^2$
ضریب برشی نرمال	$2 \times 10^8 \text{ N/m}^2$
قطر ابزار	$D=12.7 \text{ mm}$
پیشروی بر دندانه	$Ft=0.1 \text{ mm/tooth}$
نسبت عمق برش شعاعی به قطر ابزار	$D=0.1a$

## 2. Up-Milling

مدوال تحقیقی است در مورد ویژگی‌ها و مشخصات دینامیکی یک سازه مکانیکی که تحت تأثیر محركی دینامیکی قرار گرفته باشد و به ما ممکن می‌کند که از چگونگی ارتعاش یک سازه شامل فرکانس و میرایی و شکل مود مطلع گردیم.

دیاگرام شماتیک انجام آزمایش مودال ابزار در شکل ۲ نشان داده است. در این تحقیق به منظور اندازه‌گیری تابع پاسخ فرکانسی ابزار، ابتدا ابزار فرزانگشتی فولاد تندری دو لبه به طول  $110$  میلی متر و به قطر  $12$  میلی متر داخل کولت دستگاه فرز سی ان سی<sup>۱</sup> FP4MA قرار گرفته و شتاب سنج در نوک ابزار و در جهت  $x$  قرار می‌گیرد سپس ابزار توسط چکش در جهت  $x$  تحریک می‌شود. همین عمل برای جهت  $y$  نیز تکرار شده است. این آزمایش برای طول‌های بیرون آمدگی ابزار اسپیندل به مقدار  $40$ ،  $60$  و  $80$  میلی متر انجام می‌گیرد. شکل ۳ نحوه انجام آزمایش مودال ابزار نشان می‌دهد.

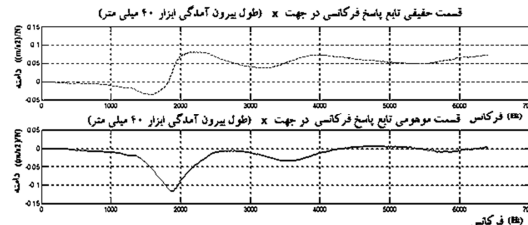
تابع پاسخ فرکانسی برای قسمتهای حقیقی و موهومی در جهات  $x$  و  $y$  برای طول‌های بیرون آمدگی ابزار برابر با  $40$ ،  $60$  و  $80$  میلی متر اندازه‌گیری شده است. نمودارهای تابع پاسخ فرکانسی برای قسمتهای حقیقی و موهومی در جهت  $x$  برای طول‌های بیرون آمدگی ابزار برابر با  $40$ ،  $60$  و  $80$  میلی متر در شکل‌های ۴ تا ۶ نشان داده شده است.



شکل ۲ دیاگرام شماتیک انجام آزمایش مودال ابزار



شکل ۳ نحوه انجام آزمایش مودال ابزار



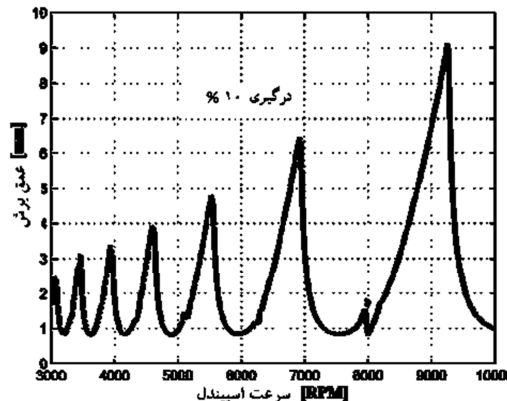
شکل ۴ نمودار تابع پاسخ فرکانسی در جهت  $x$  برای طول بیرون آمدگی ابزار برابر ۴۰ میلی متر

1. CNC (computer numerical control)

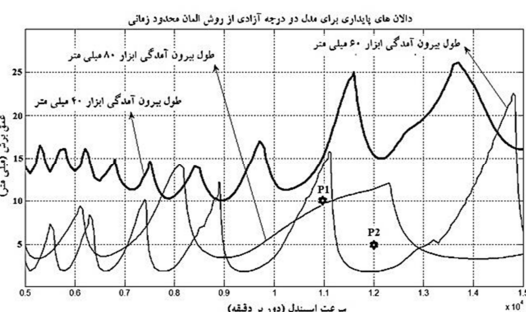
توانند نرخ‌های برادهبرداری‌های بالاتری را نسبت به ابزارهای کوتاه‌تر انتخاب کنند. به عبارت دیگر این مطلب که همیشه ابزارهای کوتاه‌تر بهتر است واقعیت ندارد.

## ۶ - مراجع

- [1] Francis Donuld Caulfield, *Electromechanical actuator development for integrated chatter prediction on high speed machining centers*, master of sience,2002
- [2] F.W. Taylor, On the art of cutting metals, *Transactions of ASME* 28 31-350,1907
- [3] RN Arnold, The mechanism of tool vibration in the cutting of steel, *Proceedings of the Institution of Mechanical Engineers*, 1946.
- [4] S.A. Tobias, W. Fishwick, The chatter of lathe tools under orthogonal cutting conditions, *Transaction of the ASME* 80 (1958) 1079-1088.
- [5] V.A. Kudinov, Theory of vibration generated from metal cutting (in Russian), *New Technology of Mechanical Engineering*, USSR Academy of Sciences Publishing House, Moscow, 1955.
- [6] Tobias, S. A., *Machine Tool Vibration*, Wiley, New York. 1965
- [7] Y. Altintas, D. Montgomery, E. Budak, Dynamic peripheral milling of flexible structures, *ASME J. Eng. Ind.* 114 (1992) 137-145.
- [8] J. Tlusty, M. Polacek, The stability of machine tools against selfexcited vibrations in machining, *Proceedings of the ASME International Research in Production Engineering*, Pittsburgh, USA, (1963) 465-474.
- [9] H.E. Merrit, Theory of self-excited machine tool chatter, *Journal of Engineering for Industry* 87 (1965) 447-454.
- [10] Bayly, P.V., Halley, J.E., Mann, B.P. and Davies, M.A., Stability of interrupted cutting by temporal finite element analysis, *Proceedings of ASME Design Engineering Technical Conference*, DETC/2001 VIB-21581, Pittsburgh, PA, 2001
- [11] P. V. Bayly , Brian P. Mann , Tony L. Schmitz , David A. Peters , Gabor Stepan, Tamas Insperger, Effects of Radial Immersion and Cutting Direction on Chatter Instability in End-Milling, *ASME International Mechanical Engineering Conference & Exhibition* New Orleans, Louisiana, November 17-22, 2002
- [12] Bayly, P. V., Halley, J. E., Mann, B. P., Davies, M. A., Stability of Interrupted Cutting by Temporal Finite Element Analysis. *Transactions of the ASME, Journal of Manufacturing Science and Engineering*. 125, 220-225, 2003
- [13] Insperger, T., Mann, B.P., Stepan, G., Bayly, P.V., Stability of Up-Milling and Down-Milling, Part1: Alternative Analytical Methods. *International Journal of Machine Tools and Manufacture*. 43, 25-34, 2003
- [14] Mann, B.P., Bayly, P.V., Davies, M.A., Halley, J.E., 2004. Limit Cycles, Bifurcations, and Accuracy of the Milling Process. *Journal of Sound and Vibration*. 277, 31-48.



شکل ۷ نمودار دالان‌های پایداری حاصل از روش TFEA با زاویه مارپیچ صفر درجه



شکل ۸ دیاگرام دالان پایداری برای طول‌های بیرون آمدگی مختلف ابزار از اسپیندل

حال با اطمینان از صحت شبیه‌سازی، برای طول‌های بیرون آمدگی مختلف ابزار از اسپیندل، پارامترهای به دست آمده از تست مودال را مورد استفاده قرار داده و دیگران دالان پایداری را شبیه‌سازی و اثر طول ابزار را بررسی می‌نماییم. شکل ۸ نتیجه شبیه‌سازی برای طول‌های بیرون آمدگی ۴۰، ۶۰ و ۸۰ میلی متر را نشان می‌دهد.

با توجه به شکل مشاهده می‌شود که چگونه طول ابزار نرخ برادهبرداری پایدار قابل قبول را تحت تاثیر قرار می‌دهد به عنوان مثال برای سرعت اسپیندل ۱۲۰۰۰ rpm و عمق برش محوری ۵mm ( نقطه P1 ) ابزار با طول بیرون آمدگی ۸۰ mm بهتر از ابزار با طول بیرون آمدگی ۶۰ mm است. اما برای سرعت اسپیندل ۱۱۰۰۰ rpm و عمق برش محوری ۱۰mm ( نقطه P2 ) ابزار با طول بیرون آمدگی ۶۰ mm بهتر از ابزار با طول بیرون آمدگی ۸۰ mm است و در نتیجه این مطلب که همیشه ابزار کوتاه‌تر بهتر است واقعیت ندارد.

## ۵ - نتیجه‌گیری

در حالت عمومی همان‌طور که طول ابزار افزایش می‌یابد جرم موثر افزایش، سختی کاهش و فرکانس‌های طبیعی کاهش می‌یابد. طول ابزار برش عمدتاً فرکانس‌های مودال و در نتیجه موقعیت‌های دالان پایداری و حدود آن را تعیین می‌کند. اگر طول ابزار افزایش یابد محل دالان‌های پایداری به سمت چپ حرکت نموده (یعنی سرعت‌های اسپیندل پایینتر) و همچنین حدود پایداری نیز پایین‌تر می‌آید.

اگر چه افزایش طول ابزار حد پایداری را کاهش می‌دهد ولی در بعضی مواقع بدست آوردن دالان‌های پایداری در سرعت‌های پایینتر مطلوب ما است. بالاترین نرخ برادهبرداری ممکن که طول ابزار در منطقه‌ای پایدار با بالاترین سرعت قابل دستیابی است اتفاق می‌افتد. بعضی مواقع ابزارهای بلندتر می-